

# ژئوشیمی توده کوارتزدیوریتی سلفچگان

محبوبه نظری<sup>(۱)</sup>، شهریار کشتگر<sup>۲</sup>، علی کعناییان<sup>۳</sup> و محمد بومری<sup>۴</sup>

۱. دانشجوی دکتری ژئوشیمی دانشگاه سیستان و بلوچستان
۲. دانشگاه جامع علمی کاربردی، واحد استان سیستان و بلوچستان
۳. دانشیار دانشکده زمین‌شناسی، پردیس علوم، دانشگاه تهران
۴. دانشیار گروه زمین‌شناسی، دانشگاه سیستان و بلوچستان

تاریخ دریافت: ۹۴/۰۶/۰۹

تاریخ پذیرش: ۹۴/۰۹/۲۲

## چکیده

توده کوارتزدیوریتی سلفچگان (کوه آل)، واقع در ۴۵ کیلومتری جنوب غرب قم، به صورت یک تواند سابولکانیک کوچک به درون ماسه سنگ‌ها و آهک‌های ماسه‌ای سازند قرمز فوکانی نفوذ کرده است. الگوی تغییرات زیگزاگ در فراوانی عناصر اصلی و کمیاب کوارتزدیوریتها، از حاشیه به سمت مرکز توده، می‌تواند نشانه تغذیه مکرر مخزن ماغمای سازنده این سنگ‌ها باشد. سنگ‌های مورد مطالعه از لحاظ ژئوشیمیایی مشخصات سنگ‌های گرانیت‌وئیدی کالک‌آلکالن، متا‌آلومین نوع I را نشان می‌دهند. این سنگ‌ها از عناصر Ce/Pb و LILE غنی و از HREE فقیر شده‌اند. علاوه بر این دارای آنمالمی منفی Nb و Ti، نسبت La/Ba و Th/Ba زیاد و مقادیر Al زیاد هستند. ضمناً بافت‌های نامتعادل در پلازیوکلازهای زونه و حضور درشت‌بلورهای هورنبلند با حاشیه واکنشی در سنگ‌های پورفیری توده از دیگر مشخصات نمونه‌ها محسوب می‌شود. با توجه به شواهد پتروگرافی و ژئوشیمیایی یاد شده به نظر می‌رسد که سنگ‌های مورد مطالعه در قوس‌های ماغمایی مرتبط با فروزانش تشکیل شده باشند.

واژه‌های کلیدی: سلفچگان، کوارتزدیوریت، سابولکانیک، کالک‌آلکالن، ژئوشیمی.

## مقدمه

دارد. این نوار آتشفسانی، در دوران سنتوزوئیک با فعالیت عظیم ماغمایی مشخص شده است (امامی، ۱۳۷۰). برخی از محققین فعالیت آتشفسانی این زون را به فروزانش نتوتیس (Takin, 1971; Karig, 1971; Nowroozi, 1971; Jung et al., 1975; Moien-1971; vaziri, 1989) و عده‌ای نیز آن را ناشی از گسیختگی پوسته در امتداد کافت‌های درون قاره‌ای می‌دانند (Sabzehei, 1974; Amidi, 1975; Emami, 1981) حاصل از داده‌های ژئوشیمیایی، ماهیت سری‌های ماغمایی

توده کوارتزدیوریتی سلفچگان، بین طول‌های جغرافیایی ۵۰°۳۰' و ۵۰°۲۸' شرقی و عرض‌های جغرافیایی ۲۱° ۳۴' و ۲۰° ۳۴' شمالی قرار گرفته است. این توده با ترکیب عمدهٔ کوارتزدیوریت به صورت یک توده ساب در داخل کمان ماغمایی ارومیه-دختر رخنمون دارد. این نوار آتشفسانی به صورت نوار طویلی به طول ۱۷۰۰ کیلومتر (تبریز تا بزمان) و به عرض تقریبی ۱۰۰ کیلومتر به موازات رو راندگی زاگرس و در فاصله ۱۵۰-۲۰۰ کیلومتری از آن قرار

\* نویسنده مرتبط: nazarimahbubeh@gmail.com

## روش مطالعه

پس از انجام مطالعات اولیه و نمونه برداری صحرایی از واحدهای سنگی مختلف منطقه، مطالعات پتروگرافی انجام شد و سپس برای بررسی ویژگی‌های ژئوشیمیایی توده کوارتزدیوریتی سلفچگان و مطالعه تفاوت‌های ژئوشیمیایی بین بخش‌های مرکزی توده با نوار حاشیه‌ای آن و بررسی نحوه تشکیل توده، تعداد شش نمونه از سالمترین دیوریت‌های لایه‌ای نوار حاشیه توده و چهار نمونه نیز از سالمترین دیوریت‌های توده‌ای بخش مرکزی برای آنالیز ژئوشیمیایی انتخاب شدند. مراحل خرد و آسیاب کردن آن‌ها در آزمایشگاه آماده‌سازی نمونه دانشگاه تهران انجام شد، سپس به آزمایشگاه ژئوشیمی ALS Chemex کشور کانادا ارسال شد و عناصر اصلی آن‌ها به روش ICP و عناصر کمیاب به روش ICP-MS مورد آنالیز قرار گرفتند (نظری ۱۳۸۵). پردازش داده‌ها نیز توسط نرم‌افزارهای Excell، Igpet، Newpet و Igpet انجام شد.

## موقعیت زمین‌شناسی

توده نفوذی سلفچگان با ترکیب عمده‌ای کوارتزدیوریتی به صورت یک توده سابولکانیک در داخل نوار آتشفسانی سهند-بزمان رخنمون دارد. قدیمی‌ترین و جدیدترین نهشته‌های موجود در ناحیه قم به ترتیب متعلق به رسوبات آهکی پرمن و رسوبات ضخیم قاره‌ای-کولاوی سازند قرمز بالایی است. سازند قرمز فوکانی شامل لایه‌های ضخیم قرمز رنگ گچ و نمک است که در ایران مرکزی و شمال غرب ایران گسترش وسیع داشته و رسوبات سازند قم را می‌پوشاند (درویش زاده، ۱۳۸۲) که در این مناطق، از مارن قمز و آهک ماسه‌ای به سن میوسن تشکیل شده است. ناحیه قم به طور کلی تحت تأثیر فازهای کوهزاوی آلپی قرار داشته که این امر باعث ایجاد چین خوردگی‌ها و فعالیت‌های آتشفسانی نئوژن در منطقه شده است (امامی، ۱۳۷۰).

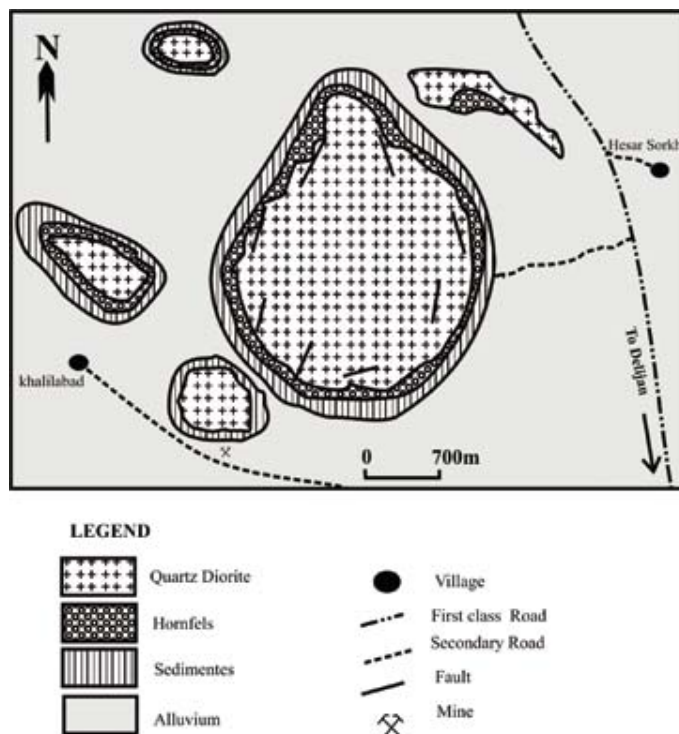
توده کوارتزدیوریتی سلفچگان (کوه آله)، واقع در ۴۵ کیلومتری جنوب غرب قم، با رخنمونی دایره‌ای شکل، به داخل ماسه‌سنگ‌ها و آهک‌های سازند قرمز فوکانی به سن میوسن بالایی تزریق شده است و سنگ‌های اطراف خود را تا فواصل حداقل چند متر دگرگون کرده است (اشکال ۱ و ۲).

سنگ‌های نوار ارومیه-دختر، الکالن و کالکوالکالن معرفی شده است. (Forster, 1972; Jung et al., 1975; Berberian, 1982; et al., 1981) بنابراین ژئوشیمیایی توده کوارتزدیوریتی سلفچگان و مطالعه تفاوت‌های ژئوشیمیایی بین مآگمایی از نوع آند محسوب می‌شود که در اثر فروزانش پوسته اقیانوسی عربستان به زیر لبه قاره‌ای فعال جنوب شرق ایران مرکزی شکل گرفته است.

مطالعات انجام شده در منطقه سلفچگان مربوط به گزارش و نقشه‌های زمین‌شناسی ۱/۲۵۰۰۰ قم (امامی، ۱۳۷۰) و ۱/۱۰۰۰۰ خورهه- سلفچگان (علایی و کهنسال، ۱۳۷۹ و نظری ۱۳۸۵) است. همچنین کنعانیان و همکاران (۱۳۸۵) و نظری و همکاران، (a,b ۱۳۸۵) مکانیسم جایگیری بالونینگ را برای این توده بیان کردند و با بررسی تنش دیرین در این توده عملکرد دو فاز اصلی تنش پس از جایگیری توده را تعیین کردند، آیتی و همکاران (۱۳۹۰) و ۱۳۸۸) نیز شیمی کانی و آثار دگرسانی مناطق مجاور این توده را بررسی کردند. همچنین در منطقه گستردۀ چهارگوش زمین‌شناسی قم، اطلاعات ارزشمند پیرامون مسائل سنگ‌شناسی فوران‌های آتشفسانی (امامی ۱۳۷۰ و شاهرخ، ۱۳۷۵) و پلوتونیسم ترشییری (قلمقاش، ۱۳۷۴) منتشر شده است. امامی (۱۳۷۰) فعالیت‌های آتشفسانی نئوژن منطقه قم را به دو فاز Ngv1 و Ngv2 تقسیم کرده است. در نخستین فاز (Ngv1) استراتو ولکان‌های نئوژن با ترکیب بازالتی تا آندزیتی به وجود آمدند و در فاز Ngv2 توده‌های نیمه آتشفسانی به صورت گدازه، گند و دایک تشکیل شده‌اند. بر اساس نظر امامی (۱۳۷۰)، توده کوارتزدیوریتی سلفچگان طی فاز Ngv2 به صورت گندی (doming) جایگزین شده است.

در مقاله حاضر با استناد به این‌که از روی خصوصیات ژئوشیمیایی سنگ‌های آذرین می‌توان به موقعیت تکتونیکی و منشاء آن‌ها پی برد (برای مثال Sandman et al., 2006)، سعی شده است با تلفیق داده‌ها به بررسی جایگاه تکتونیکی و نحوه تشکیل این توده پرداخته شود.

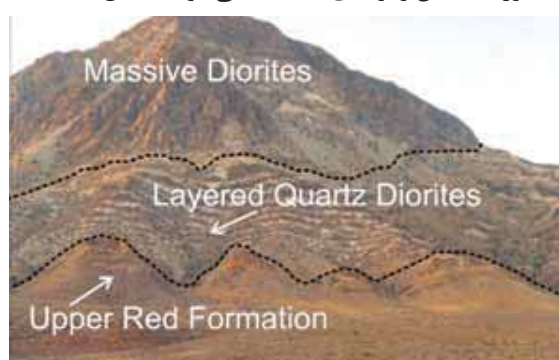
بنابراین با توجه به روابط زمین‌شناسی و به خصوص حضور گرفت که این توده متعلق به ماگماتیسم پس از میوسن و هاله دگرگونی در سنگ‌های اطراف این توده می‌توان نتیجه احتمالاً مربوط به پلیوسن بوده است.



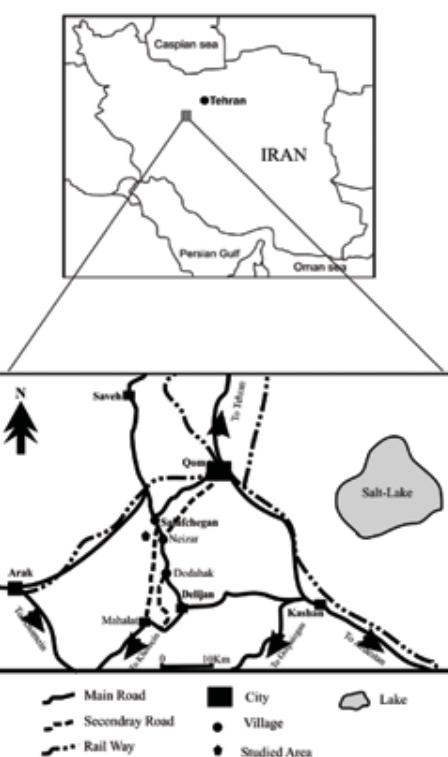
شکل ۱. نقشه زمین‌شناسی ساده شده منطقه

## بحث

سنگ‌های توده نفوذی سلفچگان از لحاظ لیتولوژیکی به دو گروه قابل تقسیم‌اند. دیوریت‌های بخش خارجی توده دارای رخمنون نواری هستند، درحالی‌که دیوریت‌های بخش مرکزی به صورت همگن و توده‌ای مشاهده می‌شوند (شکل ۳).



شکل ۳. نمایی از توده سلفچگان و ارتباط آن با واحدهای لیتولوژیکی منطقه



شکل ۲. موقعیت جغرافیایی و راههای دسترسی به منطقه

و کانی‌های فرعی و ثانویه بیوتیت، اسفن، اپیدوت، کلریت و اکتینیوت هستند. درصد کانی‌های فلزیک در این لایه‌ها بیشتر از لایه‌های تیره است، به طوری که تعداد و اندازه کانی‌های بیشتر شده و قطر آن‌ها به حدود یک سانتی‌متر می‌رسد. پلازیوکلازها اغلب ماکل پلی‌سنتیک، زونینگ و در بعضی موارد بافت غربالی نشان می‌دهند.

در دیبوریت‌های روشن، پلازیوکلازها بیشتر آلتره شده و اکثراً به کلسیت تبدیل شده‌اند. تعداد فنوکریست‌ها، کمتر ولی اندازه آن‌ها معمولاً بزرگ‌تر از انواع موجود در لایه‌های تیره است. کانی‌های مافیک از نوع آمفیبول و پیروکسن هستند و با فراوانی کمتر و آلتراسیون کمتر نسبت به لایه‌های تیره مشخص می‌شوند. در لایه‌های روشن، انکلاوهای ریزدانه‌ای از دیبوریت‌های تیره مشاهده می‌شوند که معمولاً دانه ریزتر از سنگ‌های میزبان بوده، بین یک تا سی سانتی‌متر قطر دارند و با داشتن کانی‌های مافیک بیشتر، مشخص می‌شوند. به‌حال هر دو بخش تیره و روشن صرف‌نظر از اختلافات جزئی بافتی و کانی‌شناسی، از لحاظ رده‌بندی سنگ‌شناسی در گروه کوارتز دیبوریت قرار می‌گیرند.

وجود بافت‌های نامتعادل مثل خوردگی، منطقه‌بندی ترکیبی و بافت غربالی در فنوکریست‌های پلازیوکلاز و هورنبلند (شکل‌های ۴ و ۵) در کنار حضور درشت بلورهای آمفیبول با حاشیه واکنشی، یکی از مشخصات سنگ‌های کمان ماقمایی است (Poma et al., 2004). وجود درشت بلورهای آمفیبول در سنگ‌های توده، می‌تواند دلیلی بر ماهیت آبدار ماقماییسم و احتمالاً نشانه شکل‌گیری سنگ‌ها در کمان ماقمایی باشد (Poma et al., 2004).

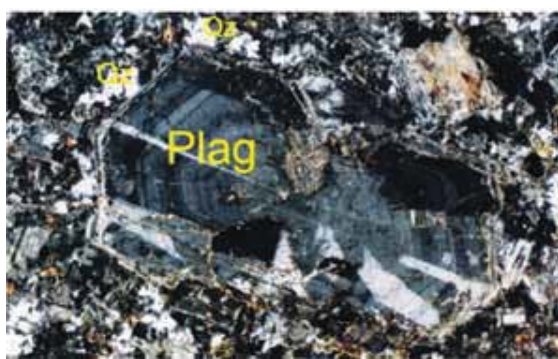
با توجه به آرایش لایه‌های دیبوریتی، به نظر می‌رسد که هر یک از زوج لایه‌های متناوب لوکودیبوریت و ملانودیبوریت، احتمالاً در طی مراحل مختلف تزريق ماقماً به درون مخزن ماقمایی و در اثر تفریق ماقما در فاصله زمانی بین دو تزريق متوالی گسترش یافته باشند. با حرکت از حاشیه به سمت مرکز توده، ضخامت لایه‌های روشن افزایش یافته به طوری که در بخش‌های مرکزی توده اثری از لایه‌های تیره دیده نمی‌شود

## لایه‌های دیبوریتی

سنگ‌های حاشیه توده، از محل کنタکت به سمت مرکز توده تا فواصل حدود ۵۰۰ متر، حالت لایه لایه دارند و بهموزات کنタکت توده از نواهی متحددالمرکز تیره و روشن تشکیل شده‌اند. این سنگ‌ها بافت پورفیری نشان می‌دهند و از لحاظ کانی‌شناسی حاوی کانی‌های اصلی آمفیبول، پلازیوکلاز، پیروکسن و کانی‌های فرعی و ثانویه کوارتز، اسفن، اپیدوت، کلریت و اکتینولیت می‌باشند.

۱. لایه‌های دیبوریتی تیره: رنگ خاکستری تا سبز تیره دارند و با فراوانی بیشتر آمفیبول مشخص می‌شوند. این دیبوریت‌ها، بافت پورفیری تا میکروگرافولار دارند. درصد کانی‌های مافیک و اپک در لایه‌های تیره دیبوریتی، کمی بیشتر از لایه‌های روشن است. از لحاظ کانی‌شناسی شامل کانی‌های اصلی آمفیبول، پلازیوکلاز، پیروکسن و کانی‌های فرعی و ثانویه کوارتز، بیوتیت، اسفن، اپیدوت، کلریت و اکتینولیت می‌باشند. فنوکریست‌های شکل‌دار پلازیوکلاز با اندازه تقریبی پنج میلی‌متر، اکثراً سالم‌اند و منطقه‌بندی نشان می‌دهند. آمفیبول‌ها به دو صورت ریزبلور و فنوکریست، با اندازه یک تا دو سانتی‌متر در نمونه‌ها حضور دارند و از لحاظ ترکیب و نحوه تشکیل به دو گروه قابل تقسیم‌اند: یک دسته آمفیبول‌های ماقمایی از نوع هورنبلند سبز که معمولاً دگرسانی در آن‌ها دیده نمی‌شود و یک دسته هم اکتینولیت‌های تاخیری که حاصل دگرسانی و اورالیتی شدن پیروکسن‌ها بوده و سودومورف پیروکسن می‌باشند. پیروکسن‌ها از نوع اوژیت هستند و به صورت بلورهایی با اندازه دو تا پنج میلی‌متر مشاهده می‌شوند. درصد کانی‌های مافیک و اپک در لایه‌های تیره دیبوریتی، بیشتر و آلتره‌تر از لایه‌های روشن است. کانی‌های مافیک اکثراً به کلریت تبدیل شده‌اند.

۲. لایه‌های دیبوریتی روشن: به رنگ خاکستری روشن بوده و با فراوانی فنوکریست‌های پلازیوکلاز و بافت پورفیری مشخص هستند و عمدهاً حاوی کانی‌های اصلی پلازیوکلاز، آمفیبول، پیروکسن، کوارتز، ارتوکلاز



شکل ۵. ساخت منطقه‌ای در درشت بلور پلازیوکلاز، نورپلاریزه، بزرگنمایی ۱۰۰، Plag: پلازیوکلاز و Qz: کوارتز

### ژئوشیمی

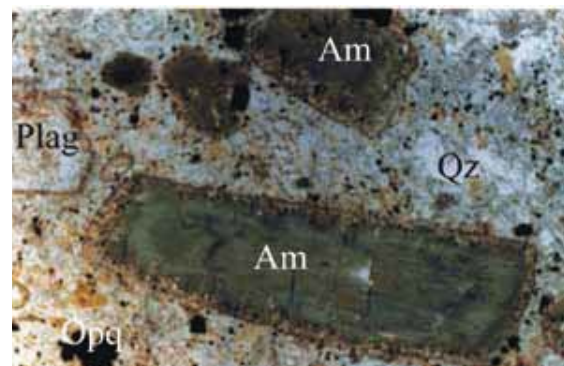
بهمنظور مطالعات ژئوشیمیایی تعداد شش نمونه از سالمترین دیوریت‌های لایه‌ای حاشیه توده (z.s.1-z.s.6) و چهار نمونه از سالمترین دیوریت‌های توده‌ای بخش مرکزی ALS- (k.s.12, k.s.14, n.s.6, k.s.8) کشور کانادا به روش ICP و ICP-MS مورد آنالیز قرار گرفتند (جدول ۱). نمونه‌های ۱, ۳, ۵ دیوریت‌های لایه‌ای روش z.s.2, ۴, ۶ دیوریت‌های لایه‌ای تیره می‌باشند.

چون دامنه تغییرات سیلیس در نمونه‌های مورد مطالعه نسبتاً محدود است، لذا برای بررسی نحوه تغییرات عناصر اصلی و کمیاب سنگ‌های دیوریتی در بخش‌های مختلف توده، به جای نمودارهای هارکر، از نمودارهای دو متغیره‌ای که محور عمودی آن‌ها به ترتیب از پایین به بالا نشان‌دهنده ترتیب قرارگیری نمونه‌ها از حاشیه به سمت مرکز توده و محور افقی آن‌ها نشانگر فراوانی اکسیدهای اصلی و عناصر کمیاب می‌باشد، استفاده شده است (شکل‌های ۶ و ۷). میزان  $\text{Al}_2\text{O}_3$  در نمونه‌های کوارتزدیوریتی سلفچگان، بین ۱۸ تا ۲۰ درصد وزنی متغیر است و روند تغییرات آن از حاشیه به سمت مرکز توده، به صورت زیگزاگ است. همچنین روند تغییرات مجموع سه عنصر  $\text{Na}_2\text{O} + \text{K}_2\text{O} + \text{CaO}$  تا حد زیادی مشابه روند تغییرات  $\text{Al}_2\text{O}_3$  است که می‌تواند نشانه تمرکز این عناصر در ساختمان پلازیوکلازها باشد. روند تغییرات  $\text{TiO}_2$ ,  $\text{MnO}$ ,  $\text{MgO}$  مشابه  $\text{FeOt}$  از حاشیه به سمت مرکز توده، زیگزاگ و نامنظم است. عدد منیزیمی

و دیوریت‌ها حالت توده‌ای به خود می‌گیرند (نظری، ۱۳۸۵ و کنعانیان و همکاران، ۱۳۸۵).

در بخش دیوریت‌های لایه لایه، خارجی‌ترین لایه، تیره رنگ است و به سمت مرکز به صورت متناوب با لایه‌های روشن تکرار می‌شوند. بخش تیره رنگ هر زوج نوار تیره و روشن را می‌توان به عنوان حاشیه انجام سریع ماقما در هر ضربان ماقمایی در نظر گرفت. در بخش خارجی توده، کانی‌ها با حفظ فرم اولیه ماقمایی خود جهت‌یابی نشان می‌دهند. این فولیاسیون ماقمایی به موازات لایه‌بندی دیوریت‌ها و کنتاكت آن‌ها با سنگ‌های میزبان است و می‌تواند نشانه تزریق پر فشار ماقما به داخل مخزن ماقمایی و جهت‌یابی کانی‌ها در حاشیه خارجی توده باشد (شکل ۷). با توجه به شواهد فوق به نظر می‌رسد که ورود ماقمای جدید به داخل مخزن در مراحل مختلف توانسته موجب انبساط توده شود (نظری، ۱۳۸۵ و کنعانیان و همکاران، ۱۳۸۵).

دیوریت‌های توده‌ای: دیوریت‌های همگن و توده‌ای در بخش مرکزی توده رخمنون دارند و عمده‌ای از دیوریت کوارتزدار با بافت پورفیری تشکیل شده‌اند. این بخش از توده معمولاً از نظر خصوصیات سنگ‌شناسی مشابه لایه‌های دیوریتی روشن است و از لحاظ کانی‌شناسی حاوی فنوکریست‌های نسبتاً درشت و شکل‌دار هورنبلند، پلازیوکلاز و اوژیت می‌باشد. کانی‌های فرعی و ثانویه عبارتند از: کوارتز، بیوتیت، اکتینولیت، اسفن و تورمالین.



شکل ۶. ساخت منطقه‌ای و خودگی در حاشیه درشت بلورهای آمفیبول. نور عادی، بزرگنمایی ۴۰، Am: آمفیبول، Plag: پلازیوکلاز، Qz: کانی‌های اپک، Opx: کوارتز و Opx: کانی‌های اپک

است و از حاشیه به سمت مرکز توده روند زیگزاگی دارد. روند تغییرات عنصر Rb و Ba تا حد زیادی شبیه به عنصر K است که می‌تواند حاکی از جانشینی روپیدیم و باریم به جای پتاسیم در کانی‌های اصلی باشد.

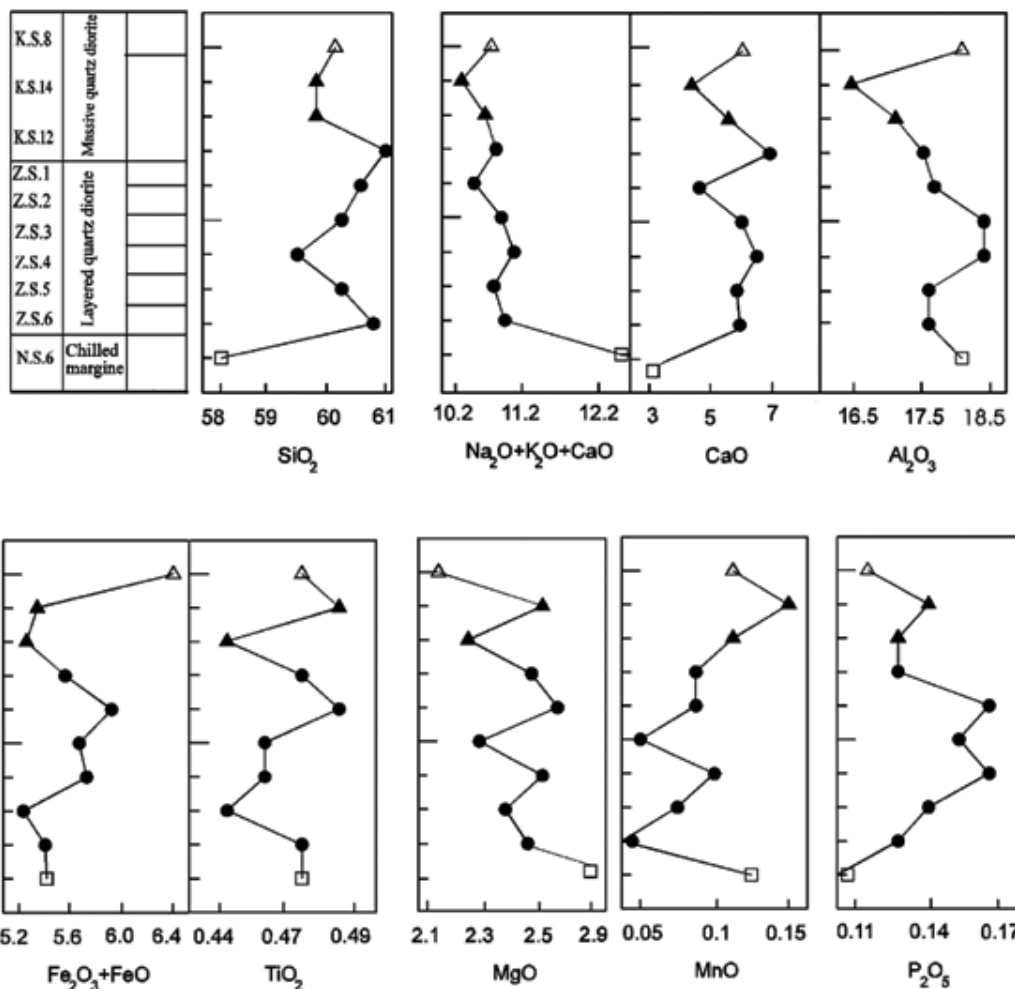
روند تغییرات زیگزاگی Ni مشابه Mg است و همان‌طور که در بخش قبلی ذکر شد می‌تواند نشانه تغذیه مکرر مخزن ماقمایی با ماقمای تازه باشد. پایین بودن فراوانی عناصر سازگاری مانند Feot (شکل ۷). روند تغییرات V مثل روند تغییرات

(Zellmer et al., 2003)

(MgO/MgO+FeO) نمونه‌های مورد مطالعه از ۳۴/۱۲ تا ۵۰/۴۳ در تغییر است. پایین بودن عدد منیزیمی نمونه‌ها نشانه متحول بودن ماقمای سازنده سنگ‌های مورد مطالعه است (Macdonald et al., 2000). چنانچه در شکل ۷ ملاحظه می‌شود به جای کاهش یا افزایش تدریجی عناصر از حاشیه به سمت مرکز توده، با تغییرات زیگزاگ و نامنظم فراوانی عناصر مواجه‌ایم که می‌تواند نشانه تغذیه مکرر مخزن ماقمایی در طی مراحل مختلف تزریق ماقما به داخل مخزن است.

حاشیه توده نسبت به مرکز آن از عناصری مانند Gd، Zr، Zn، Sm، Nd، Ce غنی‌تر است (شکل ۷). روند تغییرات

Feot مثلاً روند تغییرات



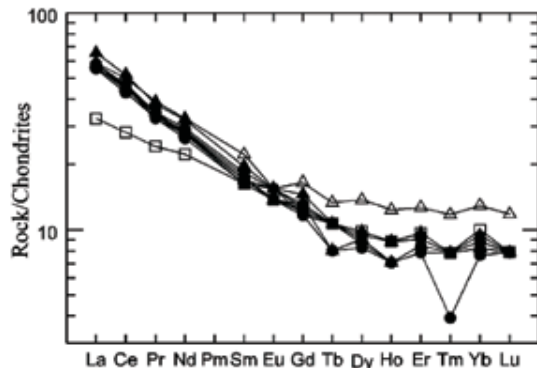
شکل ۶. روند تغییر فراوانی اکسیدهای اصلی از حاشیه (نمونه‌های Z.S.1 تا Z.S.6، K.S.12، K.S.14) به سمت مرکز (نمونه‌های K.S.8) در توده کوارتزدیوریتی سلفچگان. علامت دایره نشان‌دهنده بخش حاشیه‌ای، علامت مثلث توپر نشانه بخش مرکزی، علامت مثلث توخالی نشانه انکلاو و مربع توخالی نشانه همبستی دیوریت با سنگ‌های میزان است

جدول ۱. نتایج آنالیز شیمیایی عناصر اصلی و کمیاب توده کوارتز دیوریتی سلفچگان. فراوانی اکسیدها بر حسب درصد وزنی و فراوانی عناصر کمیاب بر حسب ppm گزارش شده است. نمونه‌های ۵ z.s.1, ۳, ۴, ۶ z.s.2, ۴, ۶ دیوریت‌های لایه‌ای روشن و ۲ z.s.2, ۴, ۶ دیوریت‌های لایه‌ای تیره می‌باشند. نمونه‌های (K.S.14) متعلق به نودهای هستند. N.S.6 حاشیه انجام سریع و K.S.8 انکلاو هستند.

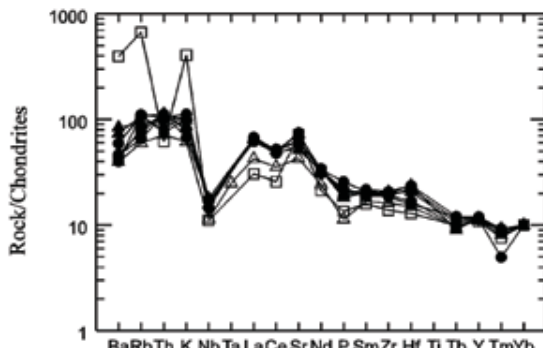
Sample	K.S.8	K.S.12	K.S.14	N.S.6	Z.S.1	Z.S.2	Z.S.3	Z.S.4	Z.S.5	Z.S.6
SiO <sub>2</sub> (wt%)	60.1	59.8	59.8	58.3	60.9	60.5	60.2	59.5	60.2	60.7
Al <sub>2</sub> O <sub>3</sub>	17.8	17.2	16.8	17.8	17.45	17.55	18	18	17.5	17.5
Fe <sub>2</sub> O <sub>3</sub>	6.3	5.35	5.42	5.48	5.6	5.9	5.69	5.74	5.33	5.47
FeO	4.15	3.52	3.55	2.87	3.72	3.84	3.72	3.76	3.5	3.57
CaO	6.19	6.04	5.65	2.78	6.48	5.73	6.18	6.34	6.13	6.16
MgO	2.15	2.23	2.43	2.92	2.4	2.47	2.26	2.43	2.33	2.39
Na <sub>2</sub> O	3.75	3.81	3.69	5.17	3.79	3.78	4.03	3.82	4	3.91
K <sub>2</sub> O	0.89	0.9	1.11	4.54	0.62	1.1	0.75	0.96	0.73	0.93
TiO <sub>2</sub>	0.47	0.45	0.48	0.47	0.47	0.48	0.46	0.46	0.45	0.47
MnO	0.11	0.11	0.14	0.12	0.09	0.09	0.06	0.1	0.08	0.05
P <sub>2</sub> O <sub>5</sub>	0.12	0.13	0.14	0.11	0.13	0.16	0.15	0.16	0.14	0.13
Total	99.7	99	98.4	100	100	100	99.8	100	99.9	100
Ag (ppm)	<1	<1	<1	24	<1	<1	<1	<1	<1	<1
Ba	273	323	422	2110	201	277	188	243	204	175.5
Ce	30.7	27.9	31.7	17.2	28.7	28.1	27.5	26.3	27.7	27.2
Co	61.3	41.2	58.8	35.1	44	50.2	59.3	55.4	45.5	44.6
Cr	10	10	10	10	10	10	10	10	10	10
Cs	0.4	0.4	0.9	1.6	0.4	1.4	0.5	0.8	0.7	0.6
Cu	28	11	11	66	11	11	14	10	5	6
Dy	3.5	2.3	2.5	2.5	2.4	2.4	2.2	2.1	2.3	2.2
Er	2.1	1.4	1.6	1.6	1.5	1.5	1.3	1.3	1.4	1.4
Eu	0.9	0.8	0.9	0.8	0.9	0.9	0.8	0.9	0.8	0.9
Ga	19	17	17	14	18	17	18	18	18	17
Gd	3.4	2.7	3	2.5	2.6	2.7	2.4	2.4	2.6	2.6
Hf	3	3	3	2	3	3	3	2	3	2
Ho	0.7	0.4	0.5	0.5	0.5	0.5	0.4	0.4	0.4	0.4
La	13.9	13.7	15.5	7.7	13.8	13.8	13.8	13.1	13.3	13.3
Lu	0.3	0.2	0.2	0.2	0.2	0.2	0.2	0.2	0.2	0.2
Mo	<2	<2	<2	<2	<2	<2	<2	<2	<2	<2
Nb	4	4	4	3	4	4	4	3	4	4
Nd	15.2	13	15	10.4	13.7	13.2	12.8	12.3	13.4	12.8
Ni	<5	6	8	7	9	9	6	9	7	9
Pb	7	5	7	<5	5	<5	<5	<5	<5	<5
Pr	3.7	3.3	3.6	2.3	3.3	3.2	3.1	3.1	3.2	3.2
Rb	20.9	23.8	23.4	181	14.6	26.4	18.2	22.1	16.9	24.4
Sm	3.4	2.6	3	2.5	2.8	2.6	2.5	2.5	2.7	2.6
Sn	1	1	1	1	1	1	1	1	1	1
Sr	502	544	441	649	471	453	467	495	537	559
Ta	0.5	<0.5	<0.5	<0.5	<0.5	<0.5	<0.5	<0.5	<0.5	<0.5
Tb	0.5	0.3	0.4	0.4	0.4	0.4	0.4	0.3	0.4	0.4
Th	3	3	3	2	3	3	3	2	3	2
Ti	<0.5	<0.5	<0.5	<0.5	<0.5	<0.5	<0.5	<0.5	<0.5	<0.5
Tm	0.3	0.2	0.2	0.2	0.2	0.2	0.2	0.1	0.2	0.2
U	0.8	0.7	0.7	0.6	0.7	0.7	0.7	0.6	0.7	0.6
V	89	78	89	98	88	88	77	86	77	83
W	446	283	440	217	304	343	458	410	332	312
Y	22	14.8	16.2	16.6	15.2	15.6	14.3	13.4	15	14.2
Yb	2.2	1.4	1.6	1.7	1.4	1.5	1.4	1.3	1.4	1.4
Zn	52	68	74	109	62	50	43	46	49	39
Zr	111	87.6	102	73.2	90.9	88.9	87.1	77.3	88.3	80.7

در منشاء باشد (Machado et al., 2005).

وجود آنومالی منفی Nb و Ti و غنی شدگی از LILE در نمودار شکل ۹ از خصوصیات سنگ‌های آذرین مناطق فرورانش محسوب می‌شود، (Sandman et al., 2006, Dostal et al., 2001).

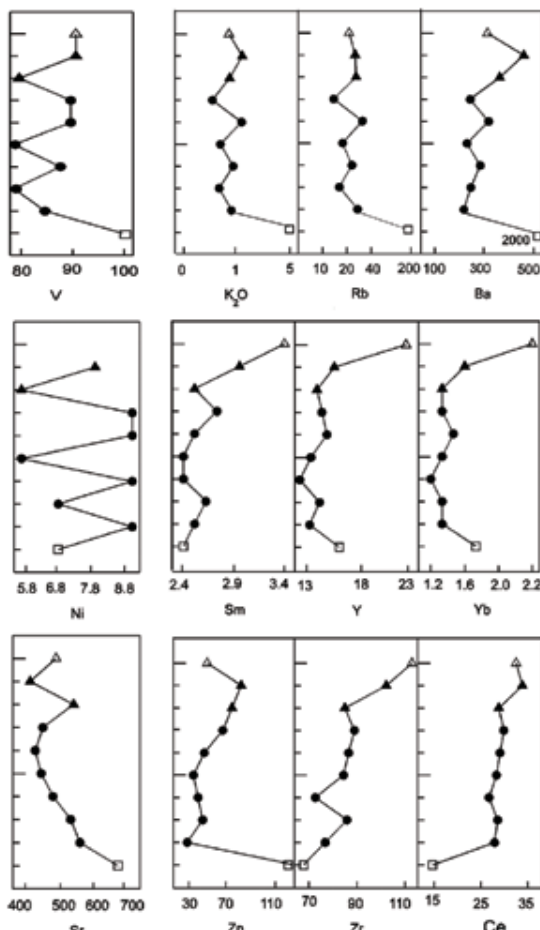


شکل ۸. فراوانی عناصر نادر خاکی (REE) در نمونه‌های مورد مطالعه که نسبت به کندریت (Sun and McDonough, 1989) نormalیز شده است. علائم مشابه شکل ۶ است



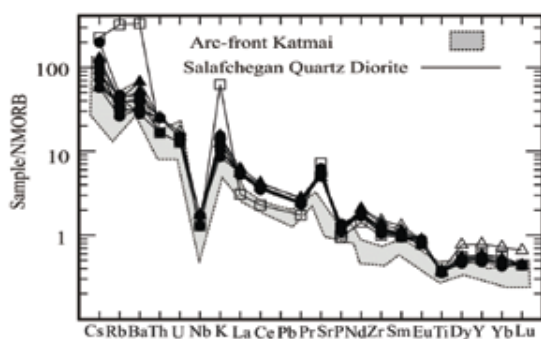
شکل ۹. فراوانی عناصر فرعی و نادر خاکی در نمونه‌های مورد مطالعه که نسبت به کندریت (Thompson, 1982) نormalیز شده است. علائم مشابه شکل ۶ می‌باشد

در نمودار نormalیز شده عناصر کمیاب نسبت به مورب نرمال (Sun and McDonough, 1989)، شاهد آنومالی Sr، Cs, Rb, K و آنومالی مثبت Ti, Nb و P می‌باشیم (Parada et al. (1999)). غنی شدگی از عناصر ناسازگار با پتانسیل یونی پایین مانند Sr, Rb, Ba, K و آنومالی منفی عناصر ناسازگار با پتانسیل یونی بالا مانند Nb, Ti و P را دلیلی بر مگماتیسم مرتبط با زون فرورانش می‌دانند. همچنین سنگ‌های کمان آتشفسانی غنی شدگی نسبت به Ce را نشان می‌دهند (Rollinson, 1993). آنومالی منفی Ti عمدها به وسیله کانی‌های تیتان دار نظیر



شکل ۷. روند تغییر فراوانی عناصر فرعی و کمیاب از حاشیه به سمت مرکز توده. علامت دایره نشان‌دهنده بخش حاشیه‌ای، علامت مثلث توپر نشانه بخش مرکزی، علامت مثلث توخالی نشانه انکلاو و مربع توخالی نشانه همبrij دیوریت با سنگ‌های میزان است

در شکل ۸، فراوانی عناصر کمیاب نمونه‌های مورد مطالعه با کندریت (Sun and McDonough, 1989)، نormalیز شده‌اند. چنانچه در این نمودار ملاحظه می‌شود غنی شدگی از HREE نسبت به LREE و مشابهت فراوانی عناصر MREE از مشخصات سنگ‌های منطقه است. بالا بودن LREE نسبت به HREE یکی از خصوصیات بارز مناطق فرورانش است (Machado et al., 2005; Teklay, 2006). غنی شدگی MREE به وسیله فاز فرعی هورنبلند کنترل می‌شود (Rollinson, 1993) و احتمالاً حضور آمفیبول در سنگ‌های منشاء مagma کوارتزدیوریتی سلفچگان و شرکت آن در ذوب بخشی منجر به غنی شدگی نمونه‌ها از MREE شده است. تفریق LREE از HREE نیز ممکن است ناشی از وجود الیوین، پیروکسن و گارنت در سنگ‌های بر جا مانده



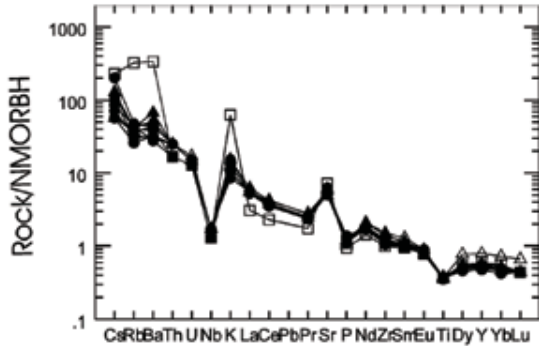
شکل ۱۲. مقایسه الگوی فراوانی عناصر سنگ‌های توده کوارتز دیوریتی سلفچگان با داده‌های کمان کاتمایی (Hildreth et al., 2004). علائم مشابه شکل ۶ است

### جایگاه تکتونیکی

نمونه‌های مورد نظر در نمودارهای  $\text{Rb}/\text{Y} + \text{Nb}/\text{Ta}$  و  $\text{Rb}/\text{Y} + \text{Ta}/\text{Nb}$

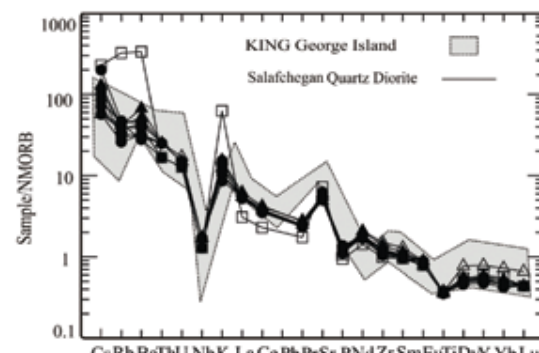
(Pearce et al., 1984) در محدوده قوس آتششانی قرار می‌گیرند که از ویژگی‌های سنگ‌های آذرین نوع I و مرتبط با مagma‌های مناطق فروزانش می‌باشد (شکل ۱۳). نمونه‌ها در نمودار  $\text{Zr}, \text{Y}^*, \text{Ti}/100$  (Pearce et al., 1973) نیز در محدوده C که متعلق به سنگ‌های کالکوالکالن است، قرار می‌گیرند (شکل ۱۴). نمونه‌های مورد مطالعه حاوی مقدار بالای  $\text{Al}_2\text{O}_3$  (۱۶–۱۸٪)، مقادیر  $\text{SiO}_2$  پایین ( $\text{Kmtr} \approx 6$  درصد) و مقدار متوسط  $\text{TiO}_2$  (۵۴–۶۰ درصد) شبیه مagma‌های حد واسط و مافیک پر (Bogoch et al., 2002). جایگاه‌های قوسی هستند (Al جایگاه‌های قوسی در شکل ۱۵). چنانچه در شکل ۱۶ دیده می‌شود نمونه‌های توده کوارتز دیوریتی سلفچگان در نمودار تغییرات  $\text{Th}/\text{Yb}$  در برابر  $\text{La}/\text{Yb}$  (Condie, 1989) مشترک جزایر قوسی و قوس‌های حاشیه قاره قرار می‌گیرند.

اسفن، ایلمنیت، روتیل و بعضی آمفیبولهای کنترل می‌شود. چون حلالیت فازهای Ti دار با افزایش فشار، در سیالات آبدار کاهش می‌یابد، در نتیجه کانی‌های مذکور که غنی از عنصر HFSE هستند، ممکن است طی فرآیندهای ذوب بخشی به صورت فاز بر جا در سنگ متناسب باقی بمانند و در نتیجه باعث پیدایش آنومالی منفی Ti در مagma شدند (Gioncada et al., 2003).



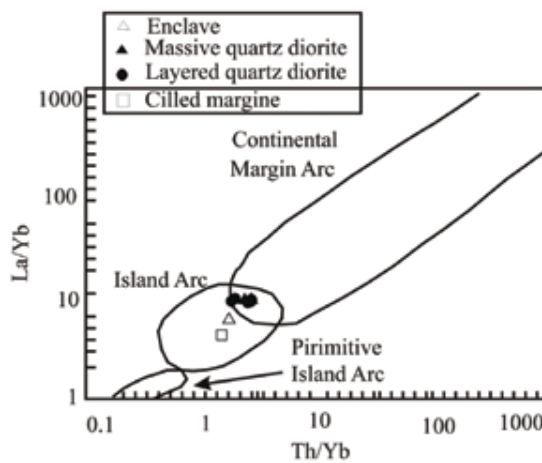
شکل ۱۰. فراوانی عناصر فرعی و کمیاب در نمونه‌های مورد مطالعه که نسبت به مورب نرمال نرمایش شده است. علائم مشابه شکل ۶ است (Sun and McDonough, 1989)

در شکل‌های ۱۱ و ۱۲، الگوی تغییرات فراوانی عناصر کمیاب سنگ‌های توده کوارتز دیوریتی سلفچگان که نسبت به مورب (Sun and McDonough, 1989) نرمایش شده است، با الگوی تغییرات عناصر کمیاب سنگ‌های جزیره کینگ جورج (Machado et al., 2005) و سنگ‌های کمان کاتمایی در آلسکا (Hildreth et al., 2004) مقایسه شده است. سنگ‌های منطقه مورب مطالعه از لحاظ غنی‌شدگی از LREE، تهی شدگی از HREE و آنومالی منفی Ti-Nb شbahت زیادی با سنگ‌های این دو منطقه نشان می‌دهند و از این لحاظ مشابه سنگ‌های مناطق فروزانش می‌باشند (Teklay, 2006).

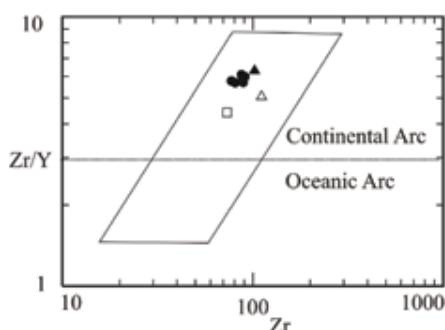


شکل ۱۱. مقایسه الگوی فراوانی عناصر سنگ‌های توده کوارتز دیوریتی سلفچگان با داده‌های جزیره کینگ جورج (Machado et al., 2005). علائم مشابه شکل ۶ است

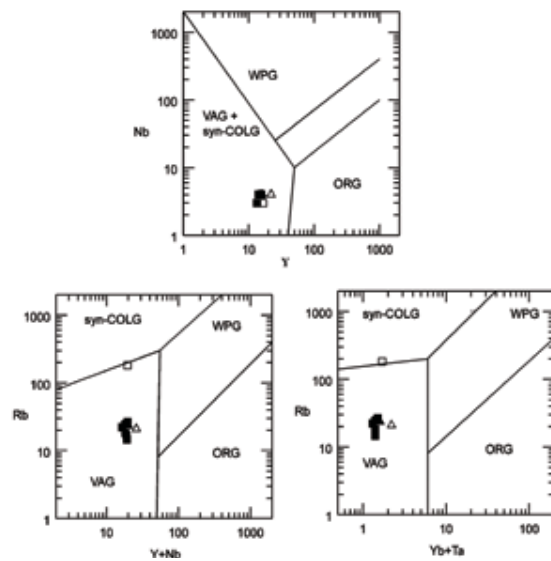
Zr (Brewer et al., 1998) در برابر Zr/Y در نمودار Zr/Y در محدوده کمان‌های قاره‌ای قرار می‌گیرند (شکل ۱۷). کمان‌های حاشیه قاره با نسبت Y/Zr بالاتر از سه مشخص می‌شوند (Brewer et al., 1998). مقادیر Cs/La در مagmaهای حاصل از جایگاه‌های MORB کمتر از ۰/۰۴، مقدار Ba/Th کمتر از ۱۰۰ و مقدار OIB کمتر از ۰/۰۴، Ba/La می‌باشد (Sun and McDonough, 1989; Kampunzu et al., 2003) نسبت‌های بالاتر عموماً در magmaهای قوس و بهویژه در جلوی قوس ظاهر می‌شود (Ryan et al., 1995). مقادیر میانگین این عناصر در نمونه‌های آنالیز شده توده موردنظر عبارت است .Ba/La= ۴۳/۹۷ و Ba/Ta= ۲۲۱/۶۳، Cs/La= ۳/۳۶. Ce/Pb در magmaهای قوس از ۲ تا ۱۳ تغییر می‌کند (Kampunzu et al., 2003)



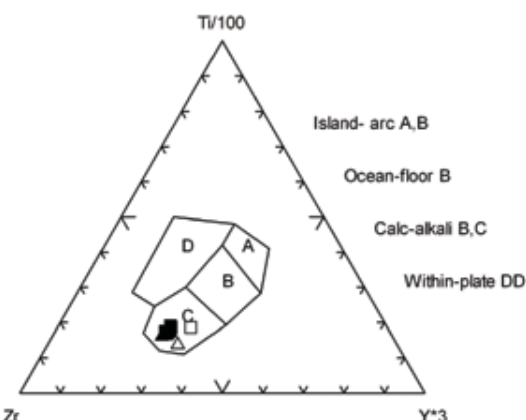
شکل ۱۶. نمودار لگاریتمی تغییرات La/Yb در مقابل Th/Yb که محدوده کمان حاشیه قاره، جزایر کمانی و جزایر کمانی اولیه را نشان می‌دهد (Condie, 1989). نمونه‌های منطقه در محدوده مشترک کمان حاشیه قاره و جزایر کمانی قرار گرفته‌اند



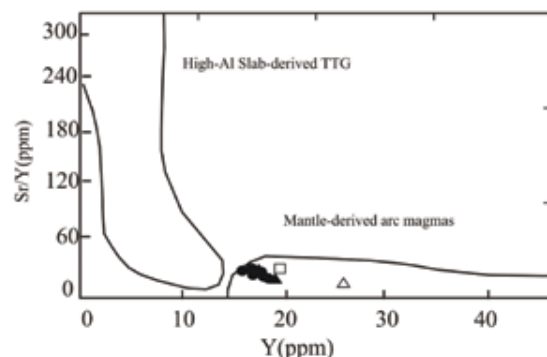
شکل ۱۷. نمودار لگاریتمی تغییرات Zr/Y در برابر Zr. سنگ‌های توده در محدوده کمان‌های قاره‌ای قرار می‌گیرند (Pearce et al., 1984). علائم مشابه شکل ۶ است



شکل ۱۳. نمونه‌های مورد مطالعه بر روی نمودارهای تکمیک‌کننده محیط‌های تکتونیکی در محدوده گرانیت‌های کمان آتش‌شانی (VAG) (Pearce et al., 1984). علائم مشابه شکل ۶ است



شکل ۱۴. نمونه‌های مورد مطالعه در نمودار Y-Zr-Ti در محدوده سنگ‌های کالکوآکالان قرار می‌گیرند (Pearce et al., 1973). علائم مشابه شکل ۶ است



شکل ۱۵. نمونه‌های مورد بررسی از لحاظ درجه اشباع آلومینیوم همگی در محدوده متاآلومین قرار می‌گیرند (Maniar and Piccoli, 1989). علائم مشابه شکل ۶ است

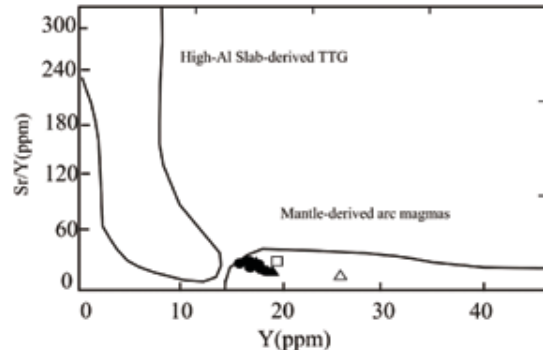
محدوده سنگ‌های کالکوآلکالن قرار می‌گیرند. همچنین نمونه‌های موردنظر در محدوده قوس آتشفشاری قرار می‌گیرند که از ویژگی‌های سنگ‌های آذرین نوع I مرتبط با ماقمای مناطق فروراش می‌باشد.

رونده تغییرات عناصر اصلی و کمیاب در نمونه‌های حاشیه توده به سمت مرکز آن، تغییرات زیگزاگ و نامنظمی نشان می‌دهد. این تغییرات می‌تواند ناشی از ورود ماقمای جدید به داخل مخزن در ضربات‌های متواالی ماقمایی باشد. مقادیر پایین Y, Nb و Yb، غنی‌شدگی از LREE در مقایسه با HREE و مقادیر بالای آلومینیم نشان‌دهنده ماقمایی است که در مناطق فروراش تشکیل می‌شوند. همچنین آنمالی منفی  $\text{Nb-Ti}$ , مقدار پایین  $\text{Ce/Pb}$  و مقادیر بالای  $\text{Nb/La}$  و  $\text{Ba/Th}$ ,  $\text{Cs/La}$  سازگار با ماقمای تولید شده در کمان‌های حاشیه قاره می‌باشد. نسبت بالای  $\text{Zr/Y}$  در توده کوارتزدیوریتی سلفچگان نشان‌دهنده تشکیل این سنگ‌ها در کمان حاشیه قاره است. وجود بافت‌های نامتعادل و درشت بلورهایی با حاشیه واکنشی و حضور کانی‌های آبدار مثل آمفیبول در سنگ‌های منطقه نیز می‌تواند تائید کننده تشکیل آن‌ها در کمان ماقمایی باشد.

## منابع

- آیتی، ف.، ۱۳۸۸. ماقماتیسم نئوژن در شمال شرق اراک و آتراسیون‌های هیدروترمال وابسته. رساله دکتری، دانشگاه اصفهان، ایران.
- آیتی، ف.، نقره‌ئیان، م. ک.، خلیلی، م.، ۱۳۹۰. پتروگرافی و شیمی کانی‌ها در پهنه‌های ماقمایی و دگرسانی جنوب سلفچگان. مجله پترولوزی، ۲۸(۲)، ۲۰-۱.
- امامی، م.، ۱۳۷۰. شرح نقشه زمین‌شناسی ۱/۲۵۰۰۰۰. چهارگوش قم. سازمان زمین‌شناسی کشور، ۱۷۹.
- درویش زاده، ع.، ۱۳۸۲. زمین‌شناسی ایران. انتشارات امیرکبیر، ۴۳۵.
- شاهرخ، ج.، ۱۳۷۵. پترولوزی و پتروزنس سنگ‌های آتشفشاری نئوژن منطقه سلفچگان-آشتیان. رساله کارشناسی ارشد، دانشگاه تربیت معلم تهران.
- علایی مهابادی، س. و کهنسال، ر.، ۱۳۷۹. نقشه زمین‌شناسی ۱/۱۰۰۰۰۰ چهارگوش سلفچگان - خورهه. سازمان زمین‌شناسی کشور.

این نسبت در نمونه‌های منطقه از ۴/۳ تا ۷/۱۷ در تغییر است. همچنین نسبت  $\text{Sr/Ce}$  در سنگ‌های رسوبی معادل شش و در سنگ‌های آذرین MORB و OIB معادل ۱۰ می‌باشد و مقادیر بالاتر مربوط به مناطق قوس است (Kampunzu et al., 2003). این نسبت در نمونه‌های آنالیز شده بین ۱۳/۹۱ تا ۳۷/۷۳ در تغییر است. الگوی نسبتاً مسطح HREE در نمودارهای نرمایی شده و نسبت  $\text{Sr/Y}$  پایین (شکل ۱۸) نشان‌دهنده خویشاوندی ماقمای توده موردنظر با ماقمای مناطق قوس است. همان‌طور که در شکل ۱۸ مشاهده می‌گردد سنگ‌های توده کوارتزدیوریتی سلفچگان در محدوده ماقمای مناطق قوسی مشتق شده از گوشه قرار گرفته‌اند.



شکل ۱۸. سنگ‌های توده کوارتزدیوریتی سلفچگان در نمودار تغییرات  $\text{Sr/Y}$  در برابر  $\text{Y}$  در محدوده ماقمایی قوسی مشتق شده از گوشه قرار می‌گیرند (Martin, 1994). عالم مشابه شکل ۶ است

اگرچه ذوب بخشی درجه پایین گوشه در زیر قوس می‌تواند غنی‌شدگی از عناصر ناسازگار را توجیه کند ولی نمی‌تواند مقادیر بالای  $\text{La/Nb}$  مثل LILE/HFSE را توضیح دهد. این خصوصیات ژئوشیمیایی مختص ماقمایی است که از یک گوشه غنی‌شده مشتق شده‌اند (Kampunzu et al., 2003). نسبت‌های پایین  $\text{Sr/Ce}$ ,  $\text{Sr/Y}$ ,  $\text{Ce/Pb}$  و  $\text{Sr/Ce}$  نشان می‌دهند که احتمالاً آسودگی با رسوبات عامل غنی‌شدگی گوشه بوده است (Shimoda et al., 1998).

## نتیجه‌گیری

خصوصیات ژئوشیمیایی بخش‌های لایه لایه توده دیوریتی سلفچگان با بخش مرکزی و ایزوتروف آن کاملاً مشابه است. سنگ‌های این توده متألومین هستند و در

- proterozoic of the south-western Baltic Shield. *Precambrian Research*, 92, 297–317.
- Condie, K.C., 1989. Geochemical changes in basalts and andesites across the Archean-Proterozoic boundary, identification and significance. *Lithos*, 23, 1-18.
  - Dostal, J., Church, B. N., Reynolds, P. H. and Hopkinson, L., 2001. Eocene volcanism in the Buck Creek basin, Central British Columbia (Canada), transition from arc to extensional volcanism. *Journal of Volcanology and Geothermal Research*, 107, 149-170.
  - Emami, M.H. 1981. Geologie de la region de Qom-Aran (Iran); Contribution a petude dynamique et geochimique du Volcanisme tertiaire de l'Iran central. These doctoratw Earth Grenoble, France, 489.
  - Forster, H., 1972. Magmentypen und erzlagerstatten im Iran. *Geology Rundschau*, 63(1), 276-292.
  - Gioncada, A., Mazzuoli, R., Bisson, M. and Pareschi, M. T., 2003. Petrology of volcanic products younger than 42 ka on the Lipari-Vulcano complex (Aeolian Islands, Italy), an example of volcanism controlled by tectonics. *Journal of Volcanology and Geothermal Research*, 122, 191-220.
  - Hildreth, W., Fierstein, J. and Siems, D.F., 2004. Rear-arc vs. arc-front volcanoes in the Katmai reach of the Alaska Peninsula, a critical appraisal of across-arc compositional variation. *Contribution of Mineralogy and Petrology*, 147, 243-275.
  - Jung, D., Kursten, M. and Tarkian, M., 1975. Post Mesozoic Volcanism in Iran and Its Relation to the Subduction of the Afro-Arabian under the Eurasian plate. Afar between continental and oceanic Rifting. *International Geology Conference Scient. Report*, 116(2), 175-181.
  - Kampunzu, A.B., Tombale, A.R., Zhai,
  - قلمقاش، ج.، ۱۳۷۴. مطالعه پلوتونیسم ترشیری در منطقه جنوب قم (محدود به ورقه ۱,۱۰۰۰۰ کهک). رساله کارشناسی ارشد، دانشگاه شهید بهشتی.
  - کنعانیان، ع.، نظری، م.، الیاسی، م.، ۱۳۸۵. بررسی نحوه جایگزینی توده کوارتزدیوریتی سلفچگان بر اساس شواهد صحرایی و پتروگرافی. مجله علوم دانشگاه تهران، ۹۰-۸۱، (۳۲)۲.
  - نظری، م.، ۱۳۸۵. بررسی منشا و محیط تکتونیکی توده کوارتزدیوریتی سلفچگان، شمال دلیجان. رساله کارشناسی ارشد زمین‌شناسی-پترولوزی، دانشگاه تهران، ۱۳۵.
  - نظری، م.، کنunanیان، ع.، الیاسی، م.، ۱۳۸۵ a. پترولوزی و مکانیسم جایگزینی توده کوارتزدیوریتی سلفچگان. دهمین همایش انجمن زمین‌شناسی ایران، دانشگاه تربیت مدرس، ۹۵-۹۴.
  - نظری، م.، کنunanیان، ع.، الیاسی، م.، ۱۳۸۵ b. جداسازی فازهای تنفس دیرین در اطراف توده کوارتزدیوریتی سلفچگان. دهمین همایش انجمن زمین‌شناسی ایران، دانشگاه تربیت مدرس، ۱۶۱.
  - Alavi, M., 1980. Tectonostratigraphic evolution of the Zagrosides of Iran. *Geology*, 8, 144-149.
  - Amidi, S. M., 1975. Contribution a l'étude stratigraphique, Petrologique, et Petrochimique des roches magmatiques de la region de Natanz-Nain-Surk (Iran central). These doctoratw Earth Grenoble, France.
  - Berberian, M., Amidi, S.M., and Babakhani, A., 1981. Discovery of the Qaradagh ophiolite belt, the southern continuation of the Sevan-Akera (Little Caucasus) ophiolite belt in northwestern Iran (Ahar quadrangle); a preliminary field note. Geological Survey of Iran, Internal Report, 15p (in Persian).
  - Bogoch, R., Avigad, D. and Weissbrod, T., 2002. Geochemistry of the quartz diorite-granite association, Roded area, southern Israel, *Journal of African Earth Sciences*, 35, 51-60.
  - Brewer, T.S., Daly, J.S. and Ahal, K., 1998. Contrasting magmatic arcs in the Palaeo-

- M., Bagai, Z., Majaule, T., Modisi and M.P., 2003. Major and trace element geochemistry of plutonic rocks from Francistown, NE Botswana, evidence for a Neoarchaean continental active margin in the Zimbabwe craton, *Lithos*, 71, 431–460.
- Karig, D. E., 1971. Origin and development of marginal basins in the western Pacific. *Journal Geophysics Research*, 76, 2542–2561.
  - Machado, A., Lima, E.F., Chemale, F. Jr., Morata D., Oteiza, O., Almeida, D.P.M., Figueiredo, A.M.G., Alexandre, F.M. and Urutia, J. L., 2005. Geochemistry constraints of Mesozoic-Cenozoic calc-alkaline magmatism in the South Shetland arc, Antarctica. *Journal of South American Earth Sciences*, 18, 407–425.
  - Macdonald, R., Hawkesworth, C. J. and Heath, E., 2000. The Lesser Antilles volcanic chain, a study in arc magmatism. *Earth-Science Reviews*, 49, 1–76.
  - Maniar, P.D. and Piccoli, M., 1989. Tectonic discrimination of granitoids. *Geological Society of American Bulletin*, 101, 635 – 642.
  - Martin, H., 1994. The Archean grey gneisses and the genesis of the continental crust. *The Archaean Crustal Evolution*. Elsevier, Amsterdam, 205–259.
  - Nowroozi, A. A., 1971. Seismotectonics of the Persian Plateau, Eastern Turkey, Caucasus and Hindu-Kush region. *Bulletin of the Seismological Society of America*, 61(2), 317–341.
  - Parada, M.A., Nystrom, J. O. and Levi, B., 1999. Multiple sources for the Coastal Batholith of Central Chile (31–34 S), geochemical and Sr-Nd isotopic evidence and tectonic implication. *Lithos*, 46, 505–521.
  - Pearce, J. A., and Cann, J. R., 1973. Tectonic setting of basic volcanic rocks determined using trace element analysis. *Earth and Planetary Sciense Letters*, 19, 290–300.
  - Pearce, J.A., Harris, N.B.W. and Tindle, A.G., 1984. Trace element discrimination diagrams for the tectonic interpretation of granitic rocks. *Journal of Petrology*, 25, 956–983.
  - Poma, S., Quenardelle, S., Litvak, V., Maisonnave, E.B. and Koukharsky, M., 2004. The Sierra de Macon, Plutonic expression of the Ordovician magmatic arc, Salta Province Argentina. *Journal of South American Earth Sciences*, 16, 587–597.
  - Rollinson, H.R., 1993. *Using Geochemical Data, Evalution, Presentation, Interpretation*. Longman, 252.
  - Ryan, J.G., Morris, J., Tera, F., Leeman, W.P. and Tsvetkov, A., 1995. Cross-arc geochemical variations in the Kuril arc as a function of slab depth. *Science*, 270, 625–627.
  - Sabzehei, M., 1974. Les Melanges ophiolitiques de la region d'Esfandagheh (Iran meridional). Etude petrographique et structural These doctoratw Earth Grenoble, France. 306.
  - Sandman, H.A., Hanmer, S., Tella, S., Armitage, A.A., Davis, W.J. and Ryan, J. J., 2006. Petrogenesis of Neoarchaean volcanic rocks of the MacQuoid supracrustal belt, A back-arc setting for the northwestern Hearne subdomain, western Churchill Province, Canada. *Pre-cambrian Research*, 144, 140–165.
  - Shimoda, G., Tatsumi, Y., Nohda, S., Ishizaka, K. and Jahn, B.M., 1998. Setouchi high-Mg andesites revisited, geochemical evidence for melting of subducting sediments. *Earth and Planetary Science Letters*, 160, 479–492.
  - Sun, S.S. and McDonough, W.F., 1989. Chemical and isotopic systematics of oceanic basalts, implications for mantle composition and processes. *Magmatism in the Ocean Basins*. Geological Society of London, 42, 313–345.

- Takin, M., 1971. Iranian geology and Zeih continental drift in Middle East. Geological Survey of Iran.
- Thompson, R. N., 1982. British tertiary volcanic province. Scotland. *Journal of Geology*, 18, 49-107.
- Teklay, M., 2006. Neoproterozoic arc-back-arc system analog to modern arc-back-arc systems, evidence from tholeiite-boninite association, serpentinite mudflows and across-arc geochemical trends in Eritrea, southern Arabian-Nubian shield. *Precambrian Research*, 145, 81-92.
- Zellmer, G. F., Hawkesworth, C. J., Sparks, R. S. J., Thomas, L. E., Harford, C. L., Brewer, T. S. and Loughlin, S. C., 2003. Geochemical Evolution of the Soufrierr Hills Volcano, Montserrat, Lesser Antilles Volcanic Arc. *Journal of Petrology*, 8, 1349-1374.